

論文

Biot數를考慮한 均一두께의 環狀핀에서의 過渡熱傳達에 關한 研究

金光洙*

A Study on the Transient Heat Transfer in Annular Fin with
Uniform Thickness Considering Biot Number

Kwang Soo Kim*

ABSTRACT

The heat diffusion equation for an annular fin is analyzed using Laplace transformations. The fin has a uniform thickness with its edge heat loss and two temperature profiles at the base such as a step change in temperature or heat flux. To obtain the exact solutions for temperature distribution, this paper can detect the eigenvalues which satisfy the roots of transcendental equations in above two cases during inverse Laplace transformations.

The exact solutions for temperature and heat flux are obtained with the infinite series by dimensionless factors.

The solutions are developed for small and large values of times.

These series solutions converge rapidly for large values of time, but slowly for small.

* 正會員, 漢陽大學校 大學院

記 號 說 明

$$A = m^2 + S$$

$$B = 2R_b - R - R_a$$

Bi : Biot Eq. (4c)

$$C = R - R_a$$

$$D = R_b - R_a$$

h : 热傳達係數

$I_n(\chi)$, $K_n(\chi)$: 修正 Bessel 函數

$J_n(\chi)$, $Y_n(\chi)$: Bessel 函數

k : 热傳導係數

$$m = \left[\frac{2h(r_b - r_a)^2}{k\delta} \right]^{\frac{1}{2}}$$

q_o : 흰 베이스에서의 热流束

$$R = \frac{r}{r_b - r_a}$$

r : 半徑

T : 溫度

T_o : 베이스 溫度

T_∞ : 周圍流體溫度

t : 時間

α : 热擴散係數

δ : 흰 두께

γ_1 : Eq. (8)

η : 흰 效率 Eq. (20a)

$$\theta = \frac{T - T_\infty}{T_o - T_\infty}$$

$$\theta^* = \frac{T - T_\infty}{q_o / 2\pi k R_a \delta Q}$$

$$\Phi = \int_0^\infty e^{-st} \theta d\tau$$

λ : 固有值

$$\tau = \frac{\alpha t}{(r_b - r_a)^2}$$

Q : 無次元熱流束 Eq. (14)

\bar{Q} : 平均 無次元熱流束 Eq. (17)

下添字

a : 内部

b : 外部

n : 整數

1. 序 論

熱傳達을 促進시키기 위하여 周圍流體와의 接觸面積을 增大시켜주는 흰의 解析은 주로 定常狀態에 대하여 研究가 이루어졌다. Harper 외 Brown⁽¹⁾ 이 最初로 흰에 대하여 解析한 以來, 많은 學者들에 의해 研究가 發表되어져 왔다.⁽²⁻⁶⁾ 最近에는 溫度에 대하여 민감한 反應을 나타내는 精密部品, 電氣, 電子部品의 溫度制御 等을 設計하는데 있어서 製品의 安定性을 위하여 흰의 過渡熱傳達 特性에 대한 知識까지도 要求되는 傾向이다. 特히 工學的으로 많이 使用되어지고 있는 環狀원에 대한 過渡熱傳達問題는 Chapman⁽⁷⁾에 의하여 처음으로 研究되어졌다. 그는 흰 베이스 溫度가 階段函數일 때 變數分離法으로써 解析하였다.

Aziz⁽⁸⁾ 는 흰 베이스 溫度가 調和函數로 變할 때 複素數法으로 持續解를 얻었다. Suryanarayana⁽⁹⁾ 는 直線원에 대하여 Laplace 變換을 使用하여 溫度 또는 热流束이 階段函數와 調和函數로 變하는 境遇 각각에 대하여 精密解를 구하였으며, 特히 적은 時間 領域에서 收斂速度가 빠른 近似解를 提示하였다. 그러나 Aziz의 持續解는 陰函數型으로 나타나 있기 때문에 使用하는데 不便하다. 또한 Suryanarayana가 구한 적은 時間領域에서 適用될 수 있는 近似解는 Laplace 逆變換 過程에서 指數函數가 幕數($m^{\pm i\omega}$)가 0.01 보다 작다는 假定⁽⁹⁾ 아래 指數函數 積分值의 平均值로 代置하여 使用하였기 때문에 어느 特定한 幕數領域 밖에서는 큰 誤差가 發生할 수 있는 要因을 內包하고 있다.

따라서 本 研究에서는 흰 베이스에서 溫度와 热流束이 階段函數로 變할 때 Laplace 變換에 의해 각각의 精密解를 구하였고, 적은 時間領域에서 收斂速度가 빠른 近似解도 아울러 구하였다. 特히 Bi 數에 따른 固有值을 위의 두 境遇에 대하여 각각 구하였으므로 環狀원 周圍에서 對流를 考慮한 過渡熱傳達 解析에 도움을 줄 수 있고 아울러 解析過程에서 위의 研究者⁽⁷⁻⁹⁾ 들의 問題點을 解決하였다.

2. 理 論 解 析

環狀핀의 形狀은 Fig. 1 과 같고 흰 베이스에서 溫度 및 热流束이 階段函數型인 境遇에 대하여 다음과 같은 假定下에 解析한다.

1. 흰의 热傳達은 一次元이다. ⁽¹⁰⁻¹³⁾
2. 흰 材料의 热物性值는 溫度와 無關하게 一定하다.
3. 흰 베이스에서 溫度와 热流束은 一定하다.
4. 흰에서의 热傳達係數와 周圍流體溫度는 一定하다.
5. 흰 内部自體의 热源은 없다.
6. 흰에서의 軸射热傳達은 考慮치 않는다.

2.1. 흰 베이스 溫度가 階段函數인 境遇

흰의 热傳達 方程式은 다음과 같다.

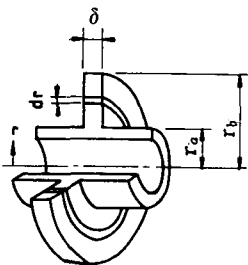


Fig. 1 An annular fin with edge heat loss

$$\frac{1}{r} \frac{\partial}{\partial r} (r \frac{\partial T}{\partial r}) - \frac{2h}{k\delta} (T - T_\infty) = \frac{1}{\alpha} \frac{\partial T}{\partial t} \quad (1)$$

初期 및 境界條件은

$$t = 0 \text{ 일때 } T = T_\infty \quad (2a)$$

$$r = r_a \text{ 에서 } T = T_0 \quad (2b)$$

$$r = r_b \text{ 에서 } -k \frac{\partial T}{\partial r} = h(T - T_\infty) \quad (2c)$$

이다. 式(1)과 (2)를 無次元化하면 다음과 같이 表示할 수 있다.

$$\frac{1}{R} \frac{\partial}{\partial R} (R \frac{\partial \theta}{\partial R}) - m^2 \theta = \frac{\partial \theta}{\partial \tau} \quad (3)$$

$$\tau = 0 \text{ 일때 } \theta = 1 \quad (4a)$$

$$R = R_a \text{ 에서 } \theta = 1 \quad (4b)$$

$$R = R_b \text{ 에서 } \frac{\partial \theta}{\partial R} = -Bi \theta \quad (4c)$$

$$\text{여기서 } Bi = \frac{h(r_b - r_a)}{k}$$

式(3)과 (4)를 Laplace 變換하면

$$\frac{d^2 \Phi}{dR^2} + \frac{1}{R} \frac{d\Phi}{dR} - (m^2 + S) \Phi = 0 \quad (5)$$

$$R = R_a \text{ 에서 } \Phi = \frac{1}{S} \quad (6a)$$

$$R = R_b \text{ 에서 } \frac{d\Phi}{dR} = -Bi \Phi \quad (6b)$$

이다. 式(5)와 (6)에 대한 解는

$$\begin{aligned} \Phi(R, S) = & \frac{1}{S} \frac{\{ [\sqrt{A}K_1(\sqrt{AR_b}) - BiK_0(\sqrt{AR_b})] }{ [I_0(\sqrt{AR_a}) [\sqrt{A}K_1(\sqrt{AR_b}) - \\ & I_0(\sqrt{AR}) + [\sqrt{A}I_1(\sqrt{AR_b}) + \\ & BiK_0(\sqrt{AR_b})] K_0(\sqrt{AR}) \}}{ [\sqrt{A}I_1(\sqrt{AR_b}) + BiI_0(\sqrt{AR_b})] } \\ & \dots \quad (7) \end{aligned}$$

式(7)을 Laplace 逆變換公式 ⁽¹⁴⁾에 代入한 結果는 다음과 같다.

$$\theta(R, \tau) = \frac{1}{2\pi i} \int_{\tau-i\infty}^{\tau+i\infty} e^{s\tau} \Phi(S, \tau) ds$$

$$= R_{es}(0) + \sum_{n=1}^{\infty} R_{es} - (m^2 + \lambda_n^2)$$

$$= \frac{I_0(mR) + r_1 K_0(mR)}{I_0(mR_a) + r_1 K_0(mR_a)}$$

$$+ 2 \sum_{n=1}^{\infty} \frac{e^{-(m^2 + \lambda_n^2)\tau} \lambda_n \{ \lambda_n [Y_1(\lambda_n R_b) - J_0(\lambda_n R)] }{(m^2 + \lambda_n^2)}$$

$$- J_1(\lambda_n R_b) Y_0(\lambda_n R)] + Bi [J_0(\lambda_n R_b) Y_0(\lambda_n R)] }{ \{ \lambda_n [R_b S_b - R_a S_a] + }$$

$$- Y_0(\lambda_n R_b) J_0(\lambda_n R)] } \dots \quad (8)$$

$$Bi [R_b T_b - R_a T_a]$$

$$\text{여기서 } r_1 = \frac{I_1(mR_b) + \frac{Bi}{m} I_0(mR_b)}{K_1(mR_b) - \frac{Bi}{m} K_0(mR_b)}$$

$$S_a = J_1(\lambda_n R_a) Y_1(\lambda_n R_b) - Y_1(\lambda_n R_a) J_1(\lambda_n R_b)$$

$$S_b = J_0(\lambda_n R_a) Y_0(\lambda_n R_b) - Y_0(\lambda_n R_a) J_0(\lambda_n R_b)$$

$$T_a = Y_1(\lambda_n R_a) J_0(\lambda_n R_b) - J_1(\lambda_n R_a) Y_0(\lambda_n R_b)$$

$$T_b = J_0(\lambda_n R_a) Y_1(\lambda_n R_b) - Y_0(\lambda_n R_a) J_1(\lambda_n R_b) \quad \dots \quad (9)$$

이여 固有值 λ_n 은 다음 transcendental equation의 양의 根들이다.

$$\begin{aligned} & \lambda_n [J_0(\lambda_n R_a) Y_1(\lambda_n R_b) - Y_0(\lambda_n R_a) J_1(\lambda_n R_b)] + Bi \\ & [Y_0(\lambda_n R_a) J_0(\lambda_n R_b) - J_0(\lambda_n R_a) Y_0(\lambda_n R_b)] = 0 \cdots (10) \end{aligned}$$

式 (8)은 τ 가 적을 때에는 매우 느리게 收斂하므로 빠르게 收斂하는 解를 구할 必要가 있다.

따라서 Tauberian 定理⁽¹⁵⁾에서 $\tau \rightarrow 0$ 은 $S \rightarrow \infty$ 이므로 K_0, K_1, I_0, I_1 에서 argument 가 클 때의 近似式⁽¹⁴⁾을 使用하여 式 (7)에 代入하면

$$\bar{\varphi}(R, S) \approx \frac{1}{S} \sqrt{\frac{R_a}{R}} \left(\frac{e^{-c\sqrt{A}} + \frac{\sqrt{A}-Bi}{\sqrt{A+Bi}} e^{-B\sqrt{A}}}{1 + \frac{\sqrt{A}-Bi}{\sqrt{A+Bi}} e^{-2D\sqrt{A}}} \right) \cdots \cdots \cdots (11)$$

式 (11)에서 S 는 큰 값이므로

$$e^{(-2D\sqrt{A})} \ll 1, \quad \frac{\sqrt{A}-Bi}{\sqrt{A+Bi}} < 1 \text{ 이다. 따라서}$$

式 (11)은 다음과 같이 表示할 수 있다.

$$\bar{\varphi}(R, S) \approx \frac{1}{S} \sqrt{\frac{R_a}{R}} [e^{-c\sqrt{A}} + e^{-B\sqrt{A}} - \left(\frac{2Bi}{\sqrt{A+Bi}} \right) e^{-B\sqrt{A}}] \cdots \cdots \cdots (12)$$

附錄을 利用하여 式 (12)를 Laplace 逆變換하면 τ 가 적을 境遇의 溫度分布는

$$\begin{aligned} \theta(R, \tau) & \approx \frac{1}{2} \sqrt{\frac{R_a}{R}} \{ e^{mB} \operatorname{erfc} \left(\frac{B}{2\sqrt{\tau}} + m\sqrt{\tau} \right) \\ & + e^{-mB} \operatorname{erfc} \left(\frac{B}{2\sqrt{\tau}} - m\sqrt{\tau} \right) + e^{mc} \\ & \operatorname{erfc} \left(\frac{C}{2\sqrt{\tau}} + m\sqrt{\tau} \right) + e^{-mc} \\ & \operatorname{erfc} \left(\frac{C}{2\sqrt{\tau}} - m\sqrt{\tau} \right) - \frac{2Bi}{m} \\ & [e^{mB} \operatorname{erf} \left(\frac{B}{2\sqrt{\tau}} + m\sqrt{\tau} \right) - \\ & e^{-mB} \operatorname{erf} \left(\frac{B}{2\sqrt{\tau}} - m\sqrt{\tau} \right)] \} \cdots \cdots \cdots (13) \end{aligned}$$

한 베이스 ($R=R_a$)에서 無次元熱流束은 다음과 같이 定義한다.

$$\Omega = \frac{q_0}{2\pi k R_a \delta (T_0 - T_\infty)} = - \left(\frac{\partial \theta}{\partial R} \right)_{R=R_a} \cdots \cdots \cdots (14)$$

이 때 많은 時間일 때 式 (8), 적은 時間일 때 式 (13)를 利用하여 式 (14)에 代入하면 無次元

熱流束을 다음과 같이 구할 수 있다.

많은 時間의 境遇 :

$$\begin{aligned} \Omega &= m \frac{\gamma_1 K_1(mR_a) - I_1(mR_a)}{I_0(mR_a) + \gamma_1 K_0(mR_a)} + 2 \sum_{n=1}^{\infty} \frac{\lambda_n^2}{(m^2 + \lambda_n^2)} \\ &\quad \frac{e^{-(m^2 + \lambda_n^2)\tau} [\lambda_n(S_a) + Bi(T_a)]}{[\lambda_n(R_b S_b - R_a S_a) + Bi(R_b T_b - R_a T_a)]}. \cdots \cdots \cdots (15) \end{aligned}$$

적은 時間의 境遇 :

$$\begin{aligned} \Omega &= \left(\frac{1}{4R_a} + \frac{m}{2} \right) e^{2mD} \operatorname{erfc} \left(\frac{D}{\sqrt{\tau}} + m\sqrt{\tau} \right) \\ &+ \left(\frac{1}{4R_a} - \frac{m}{2} \right) e^{-2mD} \operatorname{erfc} \left(\frac{D}{\sqrt{\tau}} - m\sqrt{\tau} \right) \\ &- \frac{Bi}{m} \left(\frac{1}{2R_a} + m \right) e^{2mD} \operatorname{erf} \left(\frac{D}{\sqrt{\tau}} + m\sqrt{\tau} \right) \\ &+ \frac{Bi}{m} \left(\frac{1}{2R_a} - m \right) e^{-2mD} \operatorname{erf} \left(\frac{D}{\sqrt{\tau}} - m\sqrt{\tau} \right) \\ &- m \operatorname{erfc}(m\sqrt{\tau}) + \frac{e^{-m^2\tau}}{\sqrt{\pi\tau}} (1 - e^{-\frac{D^2}{\tau}}) \cdots \cdots \cdots (16) \end{aligned}$$

또한 任意 時間 τ 에 대한 平均 無次元熱流束⁽¹⁷⁾은

$$\bar{\Omega} = \frac{1}{\tau} \int_0^\tau \Omega d\tau \cdots \cdots \cdots (17)$$

이므로 式 (15), (16)을 利用하면 $\bar{\Omega}$ 는 다음과 같이 된다.

많은 時間의 境遇 :

$$\begin{aligned} \bar{\Omega} &= m \frac{\gamma_1 K_1(mR_a) - I_1(mR_a)}{I_0(mR_a) + \gamma_1 K_0(mR_a)} - \frac{2}{\tau} \sum_{n=1}^{\infty} \\ &\quad \frac{\lambda_n^2 [\lambda_n(S_a) + Bi(T_a)] e^{-(m^2 + \lambda_n^2)\tau} - 1}{(m^2 + \lambda_n^2)^2 [\lambda_n(R_b S_b - R_a S_a) + Bi(R_b T_b - R_a T_a)]}. \cdots \cdots \cdots (18) \end{aligned}$$

적은 時間의 境遇 :

$$\begin{aligned} \bar{\Omega} &= \left(\frac{1}{4R_a} + \frac{m}{2} \right) e^{2mD} [1 - \operatorname{erf} \left(\frac{D}{\sqrt{\tau}} + m\sqrt{\tau} \right)] + \left(\frac{1}{4R_a} \right. \\ &\quad \left. - \frac{m}{2} \right) e^{-2mD} [1 - \operatorname{erf} \left(\frac{D}{\sqrt{\tau}} - m\sqrt{\tau} \right)] - \frac{Bi}{m} \left(\frac{1}{2R_a} - m \right) \\ &+ m e^{2mD} \operatorname{erf} \left(\frac{D}{\sqrt{\tau}} + m\sqrt{\tau} \right) + \frac{Bi}{m} \left(\frac{1}{2R_a} - m \right) \\ &- e^{-2mD} \operatorname{erf} \left(\frac{D}{\sqrt{\tau}} - m\sqrt{\tau} \right) - m [1 - \operatorname{erf}(m\sqrt{\tau})] \\ &+ \frac{1}{\tau \sqrt{\pi}} \int_0^\tau \frac{e^{-m^2\tau}}{\sqrt{\tau}} (1 - e^{-\frac{D^2}{\tau}}) d\tau \cdots \cdots \cdots (19) \end{aligned}$$

또한 热性能은 热效率로써 表示되며

$$\eta = \frac{q_0}{q_{ideal}} \cdots \cdots \cdots (20a)$$

式 (20a)에서 q_0 는 式 (14)로 表示되며

q_{ideal} 은 흰 全體面積이 흰 베이스 溫度일 때 흰 表面으로부터의 傳熱量이므로⁽¹⁸⁾

$$q_{ideal} = 2\pi h(T_0 - T_\infty)[(r_b^2 - r_a^2) + r_b \delta] \quad \dots \dots \dots (20b)$$

式 (20a), (20b), (14) 를 利用하여 計算을 나타낼 수 있다.

2.2. 흰 베이스의 热流束이 階段函數인 境遇
熱傳達 方程式과 初期 및 境界條件은 2.1.節과 같으며 단지 式(3), (4)에서 θ 를 無次元溫度 θ^* 로 代置하고 式(4b)의 境界條件을 $R=R_a$ 에서 $\frac{\partial \theta^*}{\partial R} = -1$ 로 바꾸면 된다.

2.1.節과 같은 方法으로써 구한 過渡溫度分布는

$$\begin{aligned} \theta^*(R, \tau) &= \frac{I_0(mR) + \gamma_1 K_0(mR)}{m[\gamma_1 K_1(mR_a) - I_1(mR_a)]} + 2 \\ &\sum_{n=1}^{\infty} \frac{e^{-(m^2 + \lambda_n^2)\tau} [\lambda_n [Y_1(\lambda_n R_b) J_0(\lambda_n R) - J_1(\lambda_n R_b) Y_0(\lambda_n R)]]}{(m^2 + \lambda_n^2) [\lambda_n (R_a T_b - R_b T_a)]} \\ &Y_0(\lambda_n R) + Bi[J_0(\lambda_n R_b) Y_0(\lambda_n R) - Y_0(\lambda_n R_b) J_0(\lambda_n R)] \\ &- Bi(R_a S_b - R_b S_a) \end{aligned} \quad (21)$$

여기서 λ_n 은 다음 transcendental equation 的 양의 根들이다.

$$\lambda_n [Y_1(\lambda_n R_a) J_1(\lambda_n R_b) - J_1(\lambda_n R_a) Y_1(\lambda_n R_b)] + Bi[J_1(\lambda_n R_a) Y_0(\lambda_n R_b) - Y_1(\lambda_n R_a) J_0(\lambda_n R_b)] = 0 \dots \dots \dots (22)$$

3. 結果 및 討議

3.1. 흰 베이스 溫度가 階段函數인 境遇

Bi 數와 $\frac{r_a}{r_b}$ 의 比가 變化할 때 式(10) 으로부터 구한 처음 10 個의 固有值는 Table 1 과 같다.

특히 式(10)에서 $Bi = 0$ 일 때의 固有值는 Irrey의結果⁽¹⁰⁾와 10^{-5} 까지 正確히 一致하였다.

解析結果로부터 式(8)의 精密解를 얻기 위하여 80 個의 固有值를 찾아,

$\frac{r_a}{r_b} = 0.2 \sim 0.8$, $m = 0.01 \sim 5$, $\tau = 0.0001 \sim 10$ 및 無限大 일 때 이들에 대한 計算을 하였다.

式 (8)의 級數項은 固有值를 順次的으로 代入

하여 收斂시켰으며 計算의 正確度를 얻기 위하여 切斷誤差는 10^{-7} 까지 制限하였다. 이를 위해 $\tau = 0.0001$ 일 때 50 ~ 80 個, $\tau = 0.0001$ 일 때 20 ~ 30 個, $\tau = 0.01$ 일 때 10 ~ 15 個, $\tau \geq 0.1$ 일 때 1 ~ 5 個의 固有值가 所要되었다. 한편 $\tau \leq 0.01$ 에 대하여는 計算이 간편하고 收斂速度가 빠른 式(13)을 使用하여 計算한 結果, 式(8)의 値에 대한 相對誤差 $\frac{|Eq.(8)-Eq.(13)|}{Eq.(8)}$ 는 .1 % 미만이었다.

따라서 $\tau \geq 0.01$ 에서는 15 個項을 考慮한 式(8), $\tau \leq 0.01$ 에서는 式(13)을 使用하는 것이 경제적이다. 또한 Ω 에 關한 式(15)에 대하여는, 式(8)보다도 收斂速度가 훨씬 느려 級數項의 切斷誤差를 10^{-5} 까지 制限하였다. 이때 固有值는 80 個 程度가 거의 使用되어졌다. Ω 를 구하기 위해 過渡分布에서와 같이 $\tau \geq 0.01$ 에서는

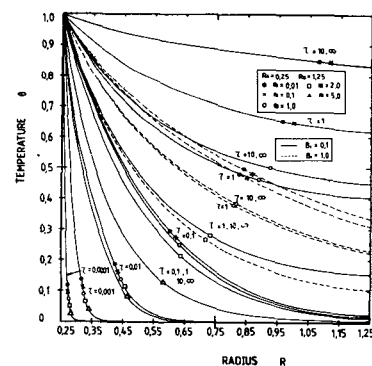


Fig.2 Temperature distribution in an annular fin

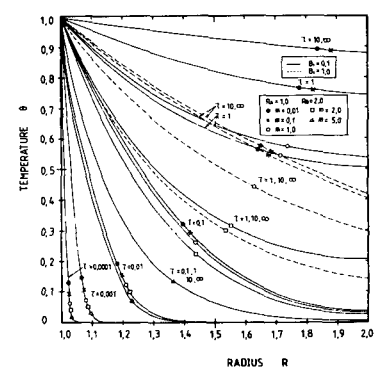


Fig.3 Temperature distribution in an annular fin

式(15), $\tau \leq 0.01$ 에서는 式(16)을 使用하면
 計算을 좀더 간편하고 빠르게 구할 수가 있다.
 式(8), (13)을 利用하여 $\frac{r_a}{r_b} = 0.2, 0.5$ 일때
 R 에 대한 θ 를 τ, Bi 數, m 에 따라 나타내면
 Fig. 2, 3과 같다.

이들 結果로부터 $\tau \leq 0.001$ 에서는 $\frac{r_a}{r_b}$, Bi 數, m 에 無關한 一定한 θ 를 얻었다.

또한 $\tau \geq 0.01$ 에서는 m 과 Bi 數가 적을수록,
 τ 및 $\frac{r_a}{r_b}$ 의 比가 클수록 높은 θ 를 얻을 수
 있었다. 이와같은 傾向은 $\tau \leq 0.001$ 일때는
 時間이 너무 적어 m 및 Bi 數에 따른 영향이
 전혀 미치지 못하기 때문이다. $\tau \geq 0.01$ 일때
 m 이 적고 τ 가 클수록 환의 길이는 짧고 τ 는
 크게되어 R 에 따라 높은 θ 를 얻게 된다.
 또한 $\frac{r_a}{r_b}$ 의 比가 클때 환의 길이는 짧아지게 되어
 결국 환 베이스에서의 溫度가 가급적 빨리 확산
 되기 때문이다. 환에서 重要時되는 定常狀態
 에 도달하는 時間은 式(8)에서 定常狀態의 1
 範圍內에 도달하는데 所要되는 最小 無次元
 時間으로 式(8)을 利用하면

$$\tau \geq \frac{1}{m^2 + \lambda_1^2} l_n \left| \frac{200\lambda_1^2 [I_0(mR_a) + r_1 K_0(mR_a)]}{(m^2 + \lambda_1^2)^2 [I_0(mR_b) + r_1 K_0(mR_b)]} \right. \\ \left. - \frac{[Y_1(\lambda_1 R_b) J_0(\lambda_1 R_b) - J_1(\lambda_1 R_b) Y_0(\lambda_1 R_b)]}{[\lambda_n(R_b S_b - R_a S_a) + Bi(R_b T_b - R_a T_a)]} \right|_{\lambda = \lambda_1}, \quad (23)$$

式 (23) 으로부터 Bi 數, $\frac{r_a}{r_b}$ 의 比, m 값에 대 한 最小 無次元時間 을 Table 2 에 나타내었다. Table 2 로부터 Bi 數가 다른 境遇에서도, 여러 가지 $\frac{r_a}{r_b}$ 의 比에 대하여 m 이 작은 값(짧은 흰)에서 즉 $m = 0.01$ 에서 0.1로 증가할 때 最小 無次元時間 은 거의 一定한 것을 알 수 있다.

그러나 $m \geq 2$ 일 때 m 의 增加에 따라 τ 가 減少하므로 定常狀態에 도달하는 實際 時間은 m 의 增加에 비하여 相對的으로 민감하지 않기 때문에 $m \geq 2$ 일 때는 無限 훈으로 간주할 수 있다.⁽¹⁹⁾

이와 같은 傾向은 $Bi = 0$ 에서 直線 훈의 結果와一致하다.⁽²⁰⁾ 또한 m 의 값이 클 境遇, Bi 數와

$\frac{r_a}{r_b}$ 의 比값에 關係없이 τ 가 一定한 것은 無限
환이기 때문이다. 그리고 흰의 길이가 길수록 最
小無次元時間이 增加함을 알 수 있다. Fig. 4와
5는 $\frac{r_a}{r_b} = 0.2, 0.5$ 일때 τ 에 대한 Ω 를 각
각 나타낸 것이다.

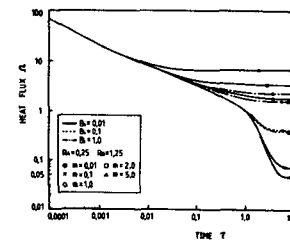


Fig.4 Base heat flux

이들 결과로부터 $\tau \leq 0.001$ 일 때 Ω 는 Bi 數와 m 값의 變化에 따른 영향을 전혀 받고 있지 않음을 알 수 있다.

또한 적은 時間일때의 式 (16)은 다음과 같
이 表示할 수 있다.

$$\Omega = -\left(\frac{1}{2R_a} + m\right) + \left(\frac{1}{2R_a} - m\right)e^{-4mD} - \frac{m^2}{Bt}e^{-2mD} + \frac{1}{\sqrt{\pi t}}e^{-2mD} \dots \quad (24)$$

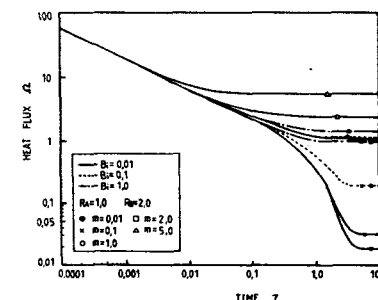


Fig.5 Base heat flux

實際上 $R_b - R_a = 1$, $R_a = 0.25 \sim 4.0$, $m = 0.01 \sim 10$, $Bi = 0.01 \sim 10$ 이므로 이들값들을 式 (24)에 의해 計算하여도 위와같은 結論을 얻을 수 있다. $\tau \geq 0.01$ 일때는 Bi 數와 m 값 增加에 따라 Ω 가 높아짐을 알 수 있다. 반면 동일한 Bi 數, m 의값, τ 에서는 $\frac{r_a}{r_b}$ 의 比가 클수록 Ω 는 오히려 減少하였다. 위와같은 傾向은 Fig.3 4와는 反對되는 現象으로 그理由는 式 (14)에

起因하기 때문이다. 또한 定常狀態에도 달하는 時間은 Ω 가 一定한 時間 即 $\frac{d\Omega}{d\tau} = 0$ 이 되는 時間이다. Fig.4.5에 의하면 이 時間까지 過渡期의 Ω 는 定常狀態보다도 훨씬 큰것을 알 수 있다. 이는 輸自體가 溫度를 上昇시키는데 消耗하는 熱과 輸表面에서 發生되는 對流熱損失의 合이 定常狀態에서 發生되는 對流熱損失보다 크기 때문이다.⁽¹⁰⁾

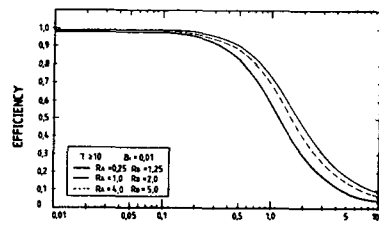


Fig. 6 Fin efficiency

Fig. 6은 $\tau \geq 10$, $Bi = 0.01$, $\frac{r_a}{r_b} = 0.2$, $0.5, 0.8$ 일때 m 에 대한 η 와의 關係를 나타낸 것이다. 이로부터 $\frac{r_a}{r_b}$ 의 比가 클수록 η 는 增加하였다. 이와같은 傾向은 Fig.4,5에서와 같이 $\tau \geq 10$, $Bi = 0.01$ 일때 $\frac{r_a}{r_b}$ 의 比가 클수록 Ω 가 減少하였으나 式(20a)에 의해 半徑比가 클수록 η 가 上昇함을 알 수 있다. 特히 $\tau \geq 10$ 일때 θ^* 는 定常狀態와 같기 때문에 Fig.6의 $\tau \geq 10$, $Bi = 0.01$ 일때의 m 및 $\frac{r_a}{r_b}$ 의 變化에 따른 η 는 Bi 數를 考慮치 않는 定常狀態에 대한 Keller 와 Somers의 結果⁽⁶⁾와도 一致하였다.

2.2. 輸ベイス의 热流束이 階段函數인 境遇

Bi 數와 $\frac{r_a}{r_b}$ 의 比가 變化할때 式 (22)로부터 구한 처음 10個의 固有值은 Table 3과 같다.

2.1. 節에서와 같은 條件下에 切斷誤差를 10^{-7} 까지 制限시켜 이들에 대한 解들을 각各 計算하였다. 이때 τ 가 增加함에 따라 2.1. 節에서와 같은 固有值들이 所要되어졌다. 式 (21)을 利用하여 Fig.7은 $Bi = 0.1$, $m = 0.1$ 일때 R 에 대한 θ^* 를 $\frac{r_a}{r_b} = 0.2, 0.5$ 에 대하여 나타낸 것이다. 그리고 이들에 대한 計算結果로써 τ 에 대한 無次元溫度分布를 m 과 Bi 數에 따라

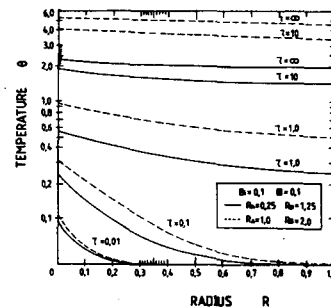


Fig. 7 temperature distributions in an annular fin with base subjected to a step change in heat flux

Fig.8,9에 각각 나타내었다. 이들의 結果, 輸ベイス 溫度가 階段函數 일 때와 같이 τ 및 $\frac{r_a}{r_b}$ 의 比가 클수록, m 과 Bi 數가 적을수록 R 에 따라 높은 θ^* 를 얻을 수 있었다. 이와같은 傾向은 2.1.節과 같다. 또한 輸에서 重要時되는 定常狀態에 도달하는 時間을 알아보기 위하여 式 (21)의 無次元溫度가 定常狀態의 1%範圍內에 所要되는 最小 無次

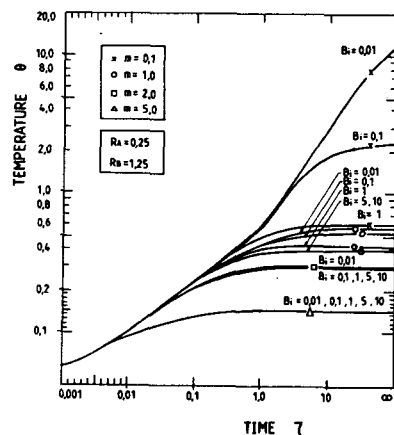


Fig. 8 temperature at the base of annular fin with base subjected to a step change in heat flux

元時間은 式 (21)을 利用하면

$$\tau \geq \frac{1}{m^2 + \lambda_1^2} \ln \left| \frac{200m\lambda_1 [J_1(mR_a) - I_1(mR_a)]}{(m^2 + \lambda_1^2)[I_0(mR_b) + J_1(mR_b)]} \right| \frac{[Y_1(\lambda_1 R_b) J_0(\lambda_1 R_b) - J_1(\lambda_1 R_b) Y_0(\lambda_1 R_b)]}{[\lambda_n(R_a T_b - R_b T_a) - Bi(R_a S_b - R_b S_a)] \lambda_n = \lambda_1} \quad (25)$$

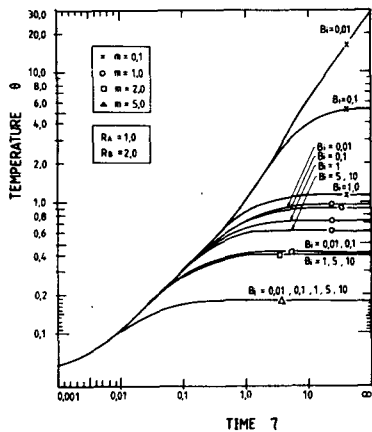


Fig.9 temperature at the base of annular fin with base subjected to a step change in heat flux

式(25)로부터 定常狀態에 도달하는데 所要되는 最小 無次元時間을 Bi 數, $\frac{r_a}{r_b}$ 的 比와 m 값에 대하여 Table 4에 나타내었다. 이結果 最小 無次元時間은 2.1. 節 보다도 Bi 數, m 값, $\frac{r_a}{r_b}$ 的 比變化에 크게 영향을 받고 있는 것으로 나타났다. 특히 $m \geq 1.0$ 에서는 m 의 增加에 따라 τ 가 현저하게 減少하였고 흰의 길이가 韶을 수록 最小 無次元時間이 增加하였다. m 의 값이 클 境遇는 2.1. 節과 같이 Bi 數와 $\frac{r_a}{r_b}$ 的 比에 無關하게 τ 가 一定하였다.

4. 結論

本研究를 通하여 얻은 結論은 다음과 같다.

1. 흰 베이스 溫度 및 흰 베이스의 热流束이 階段函數일 때, Laplace 變換에 의해 Bi 數를 考慮한 半徑比에 대한 固有值를 각각 찾았어 이에대한 精密解를 구하였다. 특히 흰 베이스 溫度가 階段函數일 때, 時間이 적은 領域에서 收斂速度가 빠른 近似解를 얻을 수 있었다.

2. 흰 베이스 溫度가 階段函數일 때, $\tau \leq 0.001$ 에서는 $\frac{r_a}{r_b}$ 的 比, Bi 數, m 값에 關係 없이 一定한 θ 를 얻었고 $\tau \geq 0.01$ 에서는 m 과 Bi 數가 적을수록, τ 및 $\frac{r_a}{r_b}$ 的 比가 클수록 높은 θ 를 나타냈다. 또한 $\tau \geq 10$ 에서는

定常狀態와 同一한 θ 를 얻을 수 있었다. 그리고 Ω 에 대하여는, $\tau \geq 0.01$ 일때는 Bi 數와 m 값 增加에 따라 Ω 가 높아졌으나 同一한 Bi 數, m 의 값, τ 에서는 $\frac{r_a}{r_b}$ 的 比가 클수록 Ω 는 오히려 減少하였다.

3. 흰 베이스 溫度가 階段函數일 때, $m \leq 5.0$ 以內의 韶은 環狀환에서 定常狀態에 도달하는 最小 無次元時間은 흰의 길이가 韶을 수록, Bi 數가 클수록 단축되었다.

4. 흰 베이스의 热流束이 階段函數일 때, m 과 Bi 數가 적을수록, τ 및 $\frac{r_a}{r_b}$ 的 比가 클수록 높은 θ^* 를 얻었다. 定常狀態에 도달하는 最小 無次元時間은 흰의 길이가 길수록, Bi 數가 클수록 最小 無次元時間은 단축되었다.

附錄

$$\text{Laplace 逆變換 } L^{-1} \left[\frac{1}{S} F(s) \right] = \int_0^t f(\tau) d\tau \text{에서}$$

$$L^{-1} \frac{1}{S} \left[\frac{2Bi}{\sqrt{m^2 + s + Bi}} e^{-f(R)\sqrt{m^2 + s}} \right] = \int_0^t e^{-m^2 t} L^{-1} \left[\frac{2Bi}{\sqrt{s + Bi}} e^{-f(R)\sqrt{t}} \right] dt \quad (A-1)$$

Laplace 逆變換表로 ⁽¹⁴⁾ 부터

$$L^{-1} \left[\frac{2Bi}{\sqrt{s + Bi}} e^{-f(R)\sqrt{t}} \right] = 2Bi \left[\left(\frac{1}{\pi t} \right)^{\frac{1}{2}} e^{-\frac{f(R)^2}{4t}} - Bi e^{Bif(R) + Bi^2 t} erfc \left(\frac{f(R)}{2\sqrt{t}} + Bi\sqrt{t} \right) \right] \quad (A-2)$$

式(A-2)를 式(A-1)에 代入하면

$$\frac{2Bi}{\sqrt{\pi}} \int_0^t e^{-m^2 t} \frac{e^{-\frac{f(R)^2}{4t}}}{\sqrt{t}} dt - 2Bi^2 \int_0^t e^{-m^2 t} e^{Bif(R) + Bi^2 t} erfc \left(\frac{f(R)}{2\sqrt{t}} + Bi\sqrt{t} \right) dt \quad (A-3)$$

이 된다. 式(A-3)의 第一項에서 $y = \sqrt{t}$ 로 置換하면

第一項은

$$\frac{4Bi}{\sqrt{\pi}} \int_0^r e^{-m^2 y^2 - \frac{f(R)^2}{4y^2}} dy \quad (A-4)$$

積分表 ⁽¹⁶⁾을 利用하면 式(A-4)는

$$\frac{Bi}{m} \left[e^{mf(R)} erf(m\sqrt{r} + \frac{f(R)}{2\sqrt{r}}) + e^{-mf(R)} \right]$$

$$erf(m\sqrt{\tau} - \frac{f(R)}{2\sqrt{\tau}}) \quad (A-5)$$

式 (A-3) 의 第二項에서 時間 t 가 매우 적은 瞬遇에는 修正 誤差 函數가 零이 되 어 積分值가 存在치 않게 된다.

따라서 式 (A-1) 은

$$L^{-1} \frac{1}{S} \left[\frac{2Bi}{\sqrt{m^2+s+Bi}} e^{-f(R)\sqrt{m^2+s}} \right] = \frac{Bi}{m} \left[e^{mf(R)} \right]$$

$$erf(m\sqrt{\tau} + \frac{f(R)}{2\sqrt{\tau}}) + e^{-mf(R)} \quad erf(m\sqrt{\tau} - \frac{f(R)}{2\sqrt{\tau}}) \quad (A-6)$$

이 된다.

參 考 文 獻

1. W.B. Harper and D.R. Brown, "Mathematical Equations for Heat Conduction in the Fins of Air Cooled Engines", NACA Report No. 158, pp. 679-708, 1922.
2. M. Jakob, Heat Transfer, Vol. 1, John Wiley & Sons, New York, 1949.
3. P.J. Schneider, Conduction Heat Transfer, Addison Wesley Publishing Company, Mass., 1955.
4. K.A. Gardner, "Efficiency of Extended Surfaces", Trans. ASME, Vol., 67, pp. 621-631, 1945.
5. H.H. Keller and E.V. Somers, "Heat Transfer from an Annular Fin of Constant Thickness", Journal of Heat Transfer, ASME, Vol. 81, pp. 151-156, 1959.
6. Melvin Avrami and J.B. Little, "Diffusion of Heat Through a Rectangular Bar and the Cooling and Insulating Effects of Fins, I. the Steady State", J. Applied Physics, Vol. 13, pp. 255-264, 1942.
7. A.J. Chapman, "Transient Heat Conduction in Annular Fins of Uniform Thickness", Chem. Eng. Symposium Series, Vol. 55, No. 29, pp. 195-201, 1959.
8. A. Aziz, "Periodic Heat Transfer in Annular Fins", J. Heat Transfer, ASME, Vol. 97, pp. 302-303, 1975.
9. N.V. Suryanarayana, "Transient Response of Straight Fins", J. Heat Transfer, ASME, Vol. 95, pp. 417-433, 1973.
10. R.K. Irey, "Errors in the One-Dimensional Fin Solution", J. Heat Transfer, ASME, Vol. 90, pp. 175-176, 1968.
11. Levitsky, Myron, "The Criterion for Validity of the Fin Approximation", Int. J. Heat Mass Transfer, Vol. 10, pp. 1960-1963. 1972.
12. WAH Lau and C.W. TAN, "Errors in One-Dimensional Heat Transfer Analysis in Straight and Annular Fins", J. Heat Transfer, ASME, Vol. 95, pp. 549-551, 1973.
13. J. Crank and I.B. Parker, "Approximate Method for Two Dimensional Problems in Heat Flows", Quart. J. Mech. & Appl. Math. Vol. 19, Part 2, pp. 167-181, 1966.
14. V.S. Arpacı, Conduction Heat Transfer, Addison-Wesley, pp. .

- 141, 346, 390-399, 1966.
15. I.N. Sneddon, *The Use of Integral Transformation*, McGraw-Hill, pp. 184-190, 1972.
16. M. Abramowitz and I.A. Stegun, *Handbook of Mathematical Functions*, Dever, New York, pp. 304, 1965.
17. J.W. YANG, "Periodic Heat Transfer in Straight Fins", *J. Heat Transfer*, ASME, Vol. 94, pp. 310-314, 1972.
18. D.Q. Kern and A.D. Kraus, *Extended Surface Heat Transfer*, McGraw-Hill, pp. 102-111, 645-647, 1972.
19. 손병진, 박희용, 이홍주, 이관수, "均一두께의 圓筒핀에서 過渡溫度分布에 關한 研究", 大韓機械學會論文集, 第6券, 第3號, pp.247-255, 1982.

Table 1. The first ten roots of Eq.(10)

| $Bi \cdot r_a/r_b$ | λ_n | λ_1 | λ_2 | λ_3 | λ_4 | λ_5 | λ_6 | λ_7 | λ_8 | λ_9 | λ_{10} |
|--------------------|-------------|-------------|-------------|-------------|-------------|-------------|-------------|-------------|-------------|-------------|----------------|
| $Bi \cdot r_a/r_b$ | No. | λ_1 | λ_2 | λ_3 | λ_4 | λ_5 | λ_6 | λ_7 | λ_8 | λ_9 | λ_{10} |
| $Bi = 0.01$ | 0.2 | 1.30769 | 4.62750 | 7.80289 | 10.95903 | 14.10873 | 17.25548 | 20.40065 | 23.54487 | 26.68847 | 29.83165 |
| | 0.4 | 1.36885 | 4.64807 | 7.81545 | 10.96806 | 14.11577 | 17.26125 | 20.40554 | 23.54911 | 26.69221 | 29.83499 |
| | 0.5 | 1.42118 | 4.66479 | 7.82550 | 10.97525 | 14.12136 | 17.26583 | 20.40941 | 23.55246 | 26.69517 | 29.83765 |
| | 0.6 | 1.50756 | 4.69190 | 7.84171 | 10.98682 | 14.13036 | 17.27319 | 20.41564 | 23.55786 | 26.69993 | 29.84190 |
| | 0.8 | 1.22562 | 4.57914 | 7.76971 | 10.93401 | 14.08874 | 17.23887 | 20.38647 | 23.53250 | 26.67751 | 29.82181 |
| $Bi = 0.1$ | 0.2 | 1.22562 | 4.57914 | 7.76971 | 10.93401 | 14.08874 | 17.23887 | 20.38647 | 23.53250 | 26.67751 | 29.82181 |
| | 0.4 | 1.38128 | 4.64711 | 7.81446 | 10.96726 | 14.11511 | 17.26070 | 20.40507 | 23.54869 | 26.69184 | 29.83466 |
| | 0.5 | 1.43810 | 4.66756 | 7.82699 | 10.97627 | 14.12215 | 17.26647 | 20.40995 | 23.55293 | 26.69558 | 29.83801 |
| | 0.6 | 1.48677 | 4.68416 | 7.83702 | 10.98345 | 14.12774 | 17.27104 | 20.41382 | 23.55629 | 26.69854 | 29.84066 |
| | 0.8 | 1.56717 | 4.71108 | 7.85319 | 10.99501 | 14.13673 | 17.27840 | 20.42005 | 23.56168 | 26.70330 | 29.84492 |
| $Bi = 1.0$ | 0.2 | 1.78101 | 4.77088 | 7.88465 | 11.01603 | 14.15248 | 17.29101 | 20.43057 | 23.57072 | 26.71123 | 29.85198 |
| | 0.4 | 1.88041 | 4.83432 | 7.92822 | 11.04880 | 14.17863 | 17.31271 | 20.44909 | 23.58686 | 26.72552 | 29.86481 |
| | 0.5 | 1.91528 | 4.85321 | 7.94038 | 11.05768 | 14.18560 | 17.31844 | 20.45395 | 23.59108 | 26.72925 | 29.86814 |
| | 0.6 | 1.94456 | 4.86846 | 7.95009 | 11.06474 | 14.19113 | 17.32299 | 20.45781 | 23.59443 | 26.73221 | 29.87079 |
| | 0.8 | 1.99176 | 4.89299 | 7.96570 | 11.07609 | 14.20002 | 17.33028 | 20.46400 | 23.59980 | 26.73695 | 29.87504 |

Table 2. Minimum dimensionless time required to reach within relative error 1 % of steady state temperature for different values of Bi , m and r_a/r_b

| r_a/r_b | m | 0.01 | 0.1 | 1.0 | 2.0 | 5.0 | 10.0 |
|--------------------|-----|-------------|-------------|-------------|-------------|-------------|-------------|
| $Bi \cdot r_a/r_b$ | No. | λ_1 | λ_2 | λ_3 | λ_4 | λ_5 | λ_6 |
| $Bi = 0.01$ | 0.2 | 3.64594 | 3.61910 | 2.10223 | 0.96426 | 0.25397 | 0.10264 |
| | 0.4 | 2.79182 | 2.77631 | 1.79697 | 0.90063 | 0.25072 | 0.10224 |
| | 0.5 | 2.55630 | 2.54337 | 1.69990 | 0.87791 | 0.24955 | 0.10212 |
| | 0.6 | 2.37844 | 2.36730 | 1.62221 | 0.85872 | 0.24853 | 0.10203 |
| | 0.8 | 2.12434 | 2.11554 | 1.50402 | 0.82759 | 0.24682 | 0.10188 |
| $Bi = 0.1$ | 0.2 | 3.16551 | 3.14542 | 1.93912 | 0.93195 | 0.25255 | 0.10253 |
| | 0.4 | 2.51234 | 2.49987 | 1.68113 | 0.87344 | 0.24937 | 0.10213 |
| | 0.5 | 2.32511 | 2.31449 | 1.59817 | 0.85262 | 0.24823 | 0.10202 |
| | 0.6 | 2.18151 | 2.17221 | 1.53141 | 0.83504 | 0.24725 | 0.10192 |
| | 0.8 | 1.97289 | 1.96535 | 1.42916 | 0.80656 | 0.24560 | 0.10177 |
| $Bi = 1.0$ | 0.2 | 1.54921 | 1.54468 | 1.20004 | 0.73497 | 0.24119 | 0.10145 |
| | 0.4 | 1.39866 | 1.39501 | 1.11039 | 0.70300 | 0.23856 | 0.10107 |
| | 0.5 | 1.35138 | 1.34799 | 1.08133 | 0.69221 | 0.23768 | 0.10096 |
| | 0.6 | 1.31364 | 1.31045 | 1.05780 | 0.68330 | 0.23694 | 0.10087 |
| | 0.8 | 1.25625 | 1.25335 | 1.02143 | 0.66919 | 0.23575 | 0.10073 |

Table 3. The first ten roots of Eq.(23)

| $\frac{r_a/r_b}{Bi\ No.}$ | λ_1 | λ_2 | λ_3 | λ_4 | λ_5 | λ_6 | λ_7 | λ_8 | λ_9 | λ_{10} |
|---------------------------|-------------|-------------|-------------|-------------|-------------|-------------|-------------|-------------|-------------|----------------|
| $Bi = 0.01$ | 0.2 | 0.12891 | 3.39138 | 6.44580 | 9.54230 | 12.65762 | 15.78227 | 18.91212 | 22.04513 | 25.18018 |
| | 0.4 | 0.11934 | 3.23769 | 6.33620 | 9.46093 | 12.59371 | 15.72992 | 18.86790 | 22.00689 | 25.14653 |
| | 0.5 | 0.11529 | 3.19963 | 6.31392 | 9.44552 | 12.58200 | 15.72049 | 18.86001 | 22.00011 | 25.14059 |
| | 0.6 | 0.11162 | 3.17514 | 6.30049 | 9.43639 | 12.57510 | 15.71495 | 18.85538 | 21.99615 | 25.13711 |
| | 0.8 | 0.10523 | 3.15067 | 6.28775 | 9.42783 | 12.56866 | 15.70979 | 18.85108 | 21.99246 | 25.13389 |
| $Bi = 0.1$ | 0.2 | 0.40240 | 3.41631 | 6.45940 | 9.55160 | 12.66467 | 15.78794 | 18.91686 | 22.04920 | 25.18374 |
| | 0.4 | 0.37213 | 3.26436 | 6.35022 | 9.47038 | 12.60083 | 15.73563 | 18.87266 | 22.01098 | 25.15010 |
| | 0.5 | 0.35938 | 3.22690 | 6.32805 | 9.45501 | 12.58913 | 15.72621 | 18.86477 | 22.00420 | 25.14417 |
| | 0.6 | 0.34788 | 3.20286 | 6.31469 | 9.44590 | 12.58224 | 15.72067 | 18.86015 | 22.00023 | 25.14069 |
| | 0.8 | 0.32790 | 3.17888 | 6.30202 | 9.43736 | 12.57581 | 15.71552 | 18.85585 | 21.99655 | 25.13747 |
| $Bi = 1.0$ | 0.2 | 1.12693 | 3.64928 | 6.59255 | 9.64369 | 12.73477 | 15.84444 | 18.96414 | 22.08982 | 25.21935 |
| | 0.4 | 1.03402 | 3.50980 | 6.48705 | 9.56387 | 12.67159 | 15.79248 | 18.92015 | 22.05174 | 25.18580 |
| | 0.5 | 0.99642 | 3.47619 | 6.46569 | 9.54878 | 12.66001 | 15.78312 | 18.91230 | 22.04499 | 25.17988 |
| | 0.6 | 0.96317 | 3.45462 | 6.45280 | 9.53982 | 12.65319 | 15.77762 | 18.90770 | 22.04103 | 25.17642 |
| | 0.8 | 0.90675 | 3.43246 | 6.44044 | 9.53138 | 12.64680 | 15.77249 | 18.90341 | 22.03735 | 25.17320 |

Table 4. Minimum dimensionless time required to reach within relative error 1 % of steady state temperature for different values of Bi , m and r_a/r_b

| $\frac{r_a/r_b}{Bi\ No.}$ | m | 0.01 | 0.1 | 1.0 | 2.0 | 5.0 | 10.0 |
|---------------------------|-----|-----------|-----------|---------|---------|---------|---------|
| $Bi = 0.01$ | 0.2 | 275.60522 | 173.15738 | 4.67658 | 1.28336 | 0.28657 | 0.11410 |
| | 0.4 | 321.27827 | 190.13423 | 4.69607 | 1.29130 | 0.28994 | 0.11536 |
| | 0.5 | 344.07153 | 197.88864 | 4.70264 | 1.29343 | 0.29077 | 0.11565 |
| | 0.6 | 366.83689 | 205.20899 | 4.70789 | 1.29489 | 0.29131 | 0.11584 |
| | 0.8 | 412.28612 | 218.68627 | 4.71565 | 1.29651 | 0.29185 | 0.11603 |
| $Bi = 0.1$ | 0.2 | 28.57165 | 26.93503 | 4.10933 | 1.24276 | 0.28529 | 0.11397 |
| | 0.4 | 33.39015 | 31.17441 | 4.19958 | 1.25609 | 0.28874 | 0.11521 |
| | 0.5 | 35.78960 | 33.25487 | 4.23520 | 1.26039 | 0.28960 | 0.11550 |
| | 0.6 | 38.18343 | 35.31061 | 4.26622 | 1.26374 | 0.29016 | 0.11568 |
| | 0.8 | 42.95640 | 39.35148 | 4.31774 | 1.26855 | 0.29075 | 0.11586 |
| $Bi = 1.0$ | 0.2 | 3.76749 | 3.73941 | 2.16708 | 1.00397 | 0.27498 | 0.11263 |
| | 0.4 | 4.45532 | 4.41578 | 2.37047 | 1.04404 | 0.27897 | 0.11372 |
| | 0.5 | 4.78809 | 4.74227 | 2.45724 | 1.05917 | 0.28005 | 0.11396 |
| | 0.6 | 5.11472 | 5.06228 | 2.53624 | 1.07210 | 0.28082 | 0.11410 |
| | 0.8 | 5.75241 | 5.68575 | 2.67533 | 1.09316 | 0.28180 | 0.11429 |